

5. ЭЛЕКТРОПИТАНИЕ

5.1. Назначение и технические данные

5.1.1. Модули электронные электропитания предназначены для электропитания устройств ПЭВМ ЕС1841 в соответствии с табл. 5.1.

Таблица 5.1

Обозначение	Шифр	Наименование питаемых устройств
EI5.087.020	ЕС1841.Е002	Модуль электронный накопителей ЕС1841.А000 Е13.060.025
EI5.087.021-02	ЕС1841.Е001.02	Модуль электронный расширения ЕС1841.Н002 Е13.055.011
EI5.087.021-04	ЕС1841.Е001.04	Модуль электронный базовый ЕС1841.Н001 Е13.055.010
EI5.087.022	ЕС1841.Е003	Модуль электронный накопителей ЕС1841.А000 Е13.060.025

5.1.2. МЭП предназначены для работы в следующих климатических условиях:

- 1) температура окружающего воздуха - (10 - 50) ° С;
- 2) относительная влажность окружающего воздуха 80 % при 25 ° С;
- 3) атмосферное давление - от 84 до 107 кПа (от 630 до 800 мм Hg.).

5.1.3. Электропитание МЭП осуществляется от однофазной сети переменного тока напряжением 220 V и частотой 50 Hz, при этом модули должны быть работоспособны при предельных отклонениях напряжения от плюс 10 % до минус 15 % и предельных отключениях

частоты до $\pm 1,0 \text{ Hz}$ от номинальных значений.

5.1.4. Основные параметры МЭП приведены в табл. 5.2.

5.2. Устройство и работа МЭП ЕС1841.Е001.02 и ЕС1841.Е003

5.2.1. МЭП представляют собой многоканальные вторичные источники электропитания с широтно-импульсным

Структурная схема ЕС1841.Е001 Е15.087.021-02

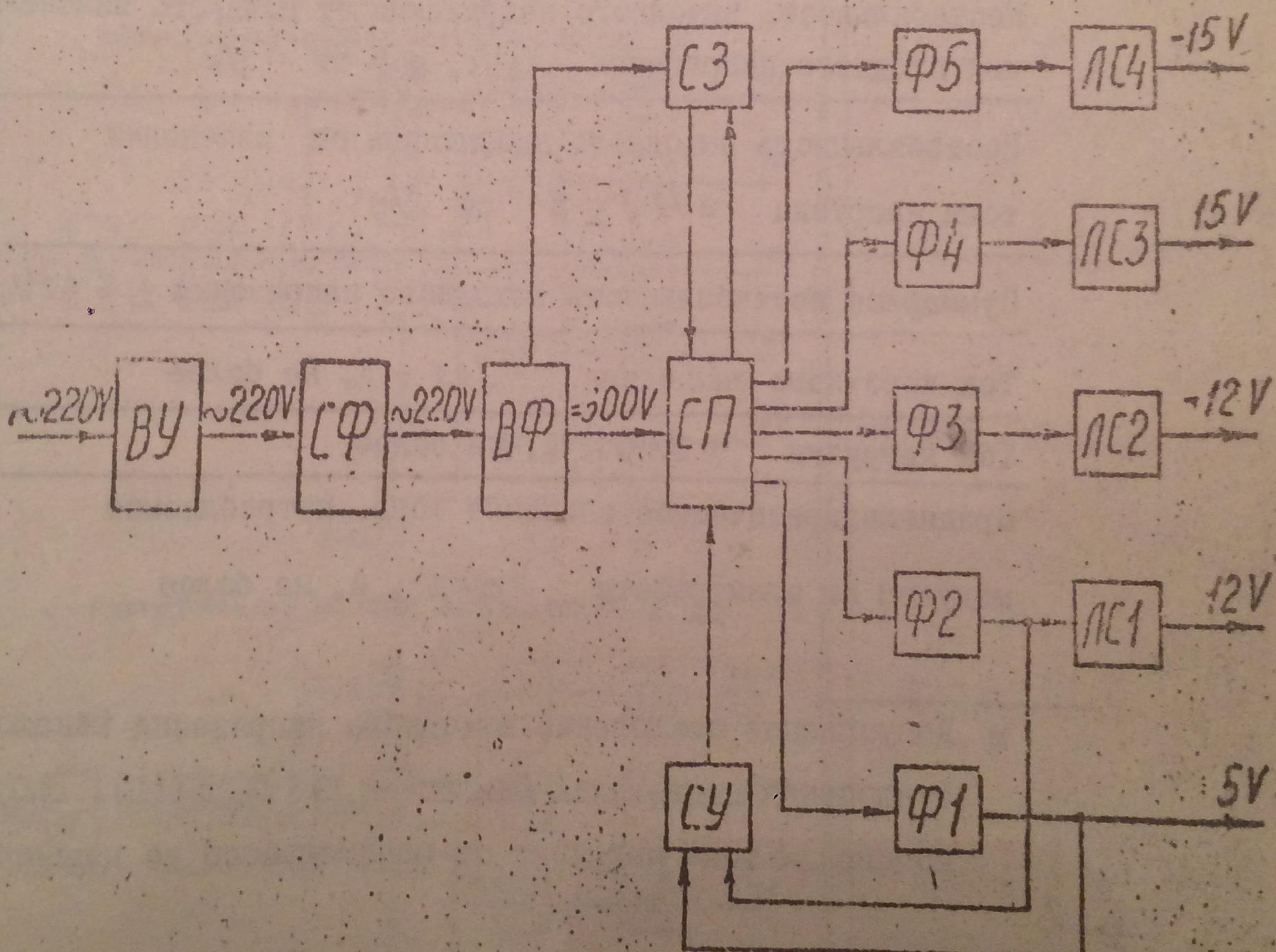


Рис. 5.1

Назначение параметра

Б15.087.02

	5	12	5
Номинальные значения выходного напряжения U_H , В	ст 0 ст 2	± 1	± 1
Допустимое отклонение ΔU_H , % от U_H	0,5	0,1	0,5
Ток нагрузки, А	Минимальный Номинальный	4	3
Размах пульсации выходного напряжения U_L , В, не более	50	100	100
Нестабильность выходного напряжения от плавного изменения входного напряжения ΔU_C , $\pm \%$ от U_H	1,5	1	0,5
Нестабильность выходного напряжения от изменения тока нагрузки ΔU_I , $\pm \%$ от U_H	1	1	1,5
Суммарная нестабильность выходного напряжения $\pm \%$ от U_H	5	3	5
Ток короткого замыкания I_{kz} , А, не более	15	10	22
Ток нагрузки I_{per} , А, не более	10	8	1
Среднеквадратическое значение тока, потребляемое модулем от электросети $I_{потреб}$, А, не более			

Допускаемое отклонение выходного напряжения каналов $\pm 12V$ и $\pm 5V$ отклонения напряжения микросхем КР142ЕН8(В) ОК0.318.631-02 ТУ 1 изменили тока нагрузки от минимального до номинального значения.

Таблица 5.2

		Обозначение											
		EI5.087.021-02				EI5.087.021-04				EI5.087.022			
		5	I2	5	I2	-I2	I5	-I5	5	I2	-I2	5	I2
V		±1	±1	±1	±3,5	±3,5	±3,5	±3,5	от 0 до 2	±1	±3,5	±1	±3,5*
	0,1	0,1	0,5	0,01	0,01	0,01	0,01	0,01	4,0	0,1	0,025	0,5	0,5
	4	C	I0	0,3	0,15	I	I	I	I2	2	0,25	1,5	1,5
олев	50	I100	I100	200	200	200	200	200	I100	200	200	50	I100
мене-	1,5	I	0,5	0,3	0,3	0,3	0,3	0,3	1,5	1,5	0,3	1,5	0,3
	1	I	I,5	-	-	-	-	-	I,0	I,5	-	0,5	-
тU ₄	5	3	5	5	5	5	5	5	5	5	5	5	5
	15	I0	28	-	-	-	-	-	20	3	2	I3	6,5
	10	8	I5	-	-	-	-	-	20	6	-	6	2,8
	I			I,5					I,2			0,6	

он $\pm I2V \pm I5V$ представляет собой сумму допустимого
343.634-м ту и нестабильности выходного напряжения от
полного заземления.

Таблица 5.2

Наименование параметра	Обозначение											
	EI5.087.020		EI5.087.021-02				EI5.087.021-04				EI5.087.022	
Номинальные значения выходного напряжения U_H , В	5	I2	5	I2	-I2	I5	-I5	5	I2	-I2	5	I2
Допустимое отклонение ΔU_H , % от U_H	от 0 до 2	± 1	± 1	$\pm 3,5$	$\pm 3,5$	$\pm 3,5$	$\pm 3,5$	от 0 до 2	± 1	$\pm 3,5$	± 1	$\pm 3,5$
Ток нагрузки, А	Минимальный	0,5	0,1	0,5	0,01	0,01	0,01	0,01	4,0	0,1	0,025	0,5
		Номинальный	4	3	10	0,3	0,15	1	1	I2	2	0,25
Размах пульсации выходного напряжения U_{lp} , В, не более	50	I00	I00	200	200	200	200	I00	200	200	50	I00
Нестабильность выходного напряжения от плавного изменения входного напряжения ΔU_C , % от U_H	1,5	I	0,5	0,3	0,3	0,3	0,3	1,5	1,5	0,3	1,5	0,3
Нестабильность выходного напряжения от изменения тока нагрузки ΔU_I , % от U_H	I	I	I,5	-	-	-	-	I,0	I,5	-	0,5	-
Суммарная нестабильность выходного напряжения ± % от U_H	5	3	5	5	5	5	5	5	5	5	5	5
Ток короткого замыкания I_{kz} , А, не более	I5	I0	28	-	-	-	-	20	3	2	I3	6,5
Ток нагрузки I_{per} , А, не более	I0	8	I5	-	-	-	-	20	6	-	6	2,8
Среднеквадратическое значение тока, потребляемое модулем от электросети I_{potr} , А, не более	I				I,5			I,2			0,6	

Допускаемое отклонение выходного напряжения каналов $\pm 12V$ и $\pm 15V$ представляет собой сумму допустимого отклонения напряжения микросхем КР112ЕН6(Д) ОК0.340.631-02 ТУ и нестабильности выходного напряжения от изменения тока нагрузки от минимального до номинального значения.

5.1.3
54
программном регулирования напряжения по каналу 5, с бесстрагородным входом.

5.2.2. Структурные схемы МЭП изображены на рис. 5.1-5.3 и включают следующие составные части:

- 1) ВУ - входной узел;
- 2) СФ - сетевой помехоподавляющий фильтр;
- 3) ВО - сетевой выпрямитель и сглаживающий фильтр;
- 4) СЗ - схему запуска и защиты от перегрузок по току транзистора силового преобразователя;
- 5) СП - силовой преобразователь;
- 6) Ф1 - демодулятор канала 5 V;
- 7) Ф2 - демодулятор канала 12 V;
- 8) Ф3 - демодулятор канала минус 12 V;
- 9) Ф4 - демодулятор канала 15 V;
- 10) Ф5 - демодулятор канала минус 15 V;
- 11) Ф6 - демодулятор канала ± 12 V;
- 12) ЛС1 - линейный стабилизатор канала 12 V;
- 13) ЛС2 - линейный стабилизатор канала минус 12 V;
- 14) ЛС3 - линейный стабилизатор канала 15 V;
- 15) ЛС4 - линейный стабилизатор канала минус 15 V;
- 16) ЛС5 - линейный стабилизатор канала ± 12 V;
- 17) СУ - схему управления.

5.2.3. Входной узел обеспечивает:

- 1) коммутацию сетевого напряжения с помощью микротумблера S41;
- 2) защиту элементов первичной цепи МЭП от коротких замыканий с помощью плавких вставок FU1, FU2.

5.2.4. Сетевой помехоподавляющий фильтр обеспечивает снижение уровня напряжения радиопомех, генерируемых МЭП в электросеть, до допустимого уровня в соответствии с п. 5.1.5 (в составе ШЭВМ).

5.2.5. Сетевой выпрямитель и сглаживающий фильтр обеспечивает:

7	104	E1137-71	16615	17177
10	104	№ зоны	Ном. платы	

Е11.700.012 Т0

Лист

204

Структурная схема НЭП ЕС1841.001 Е15.087.021, -02

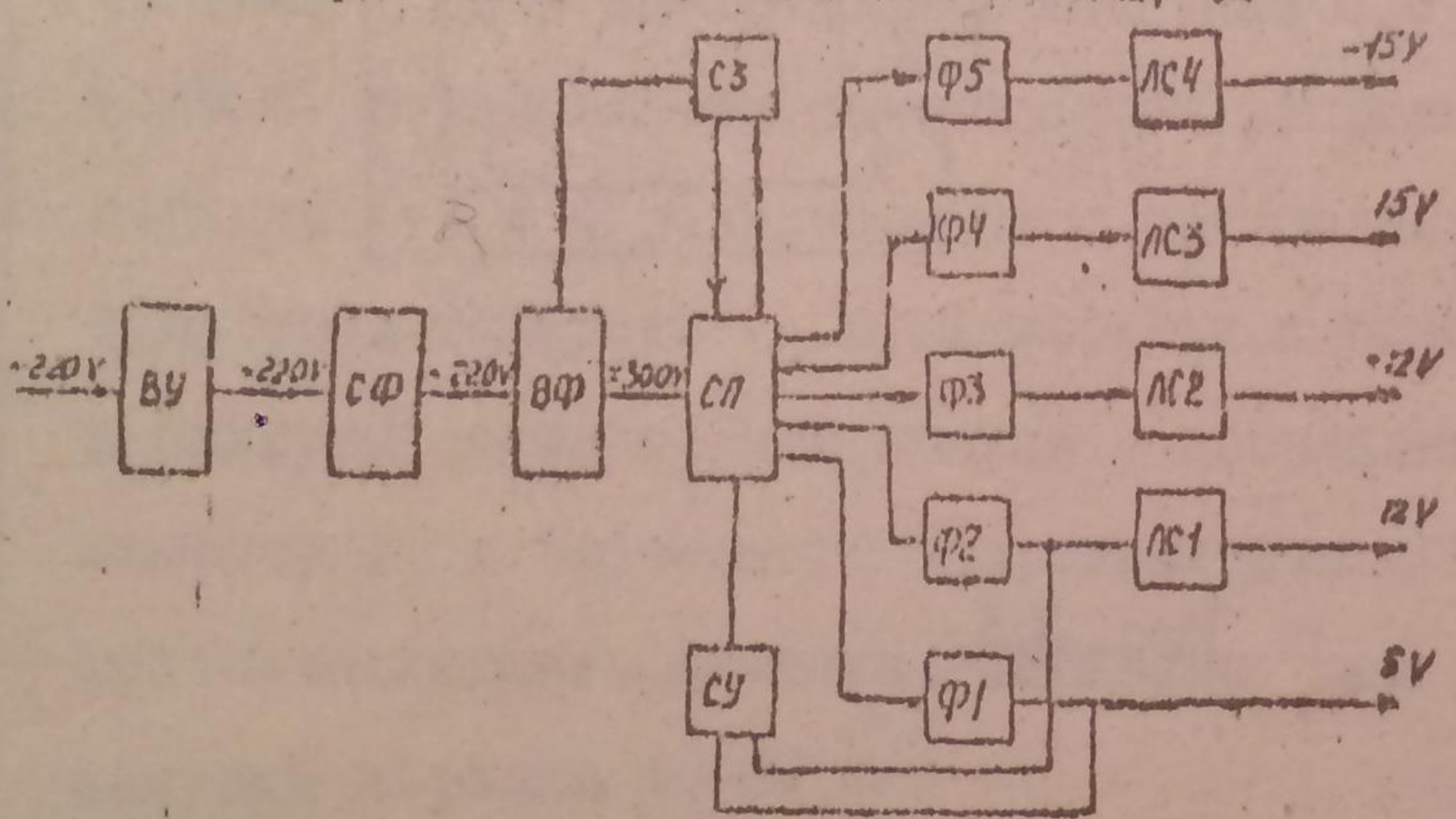


Рис. 5.1

Структурная схема НЭП ЕС1841.001 Е15.087.021-01, -03

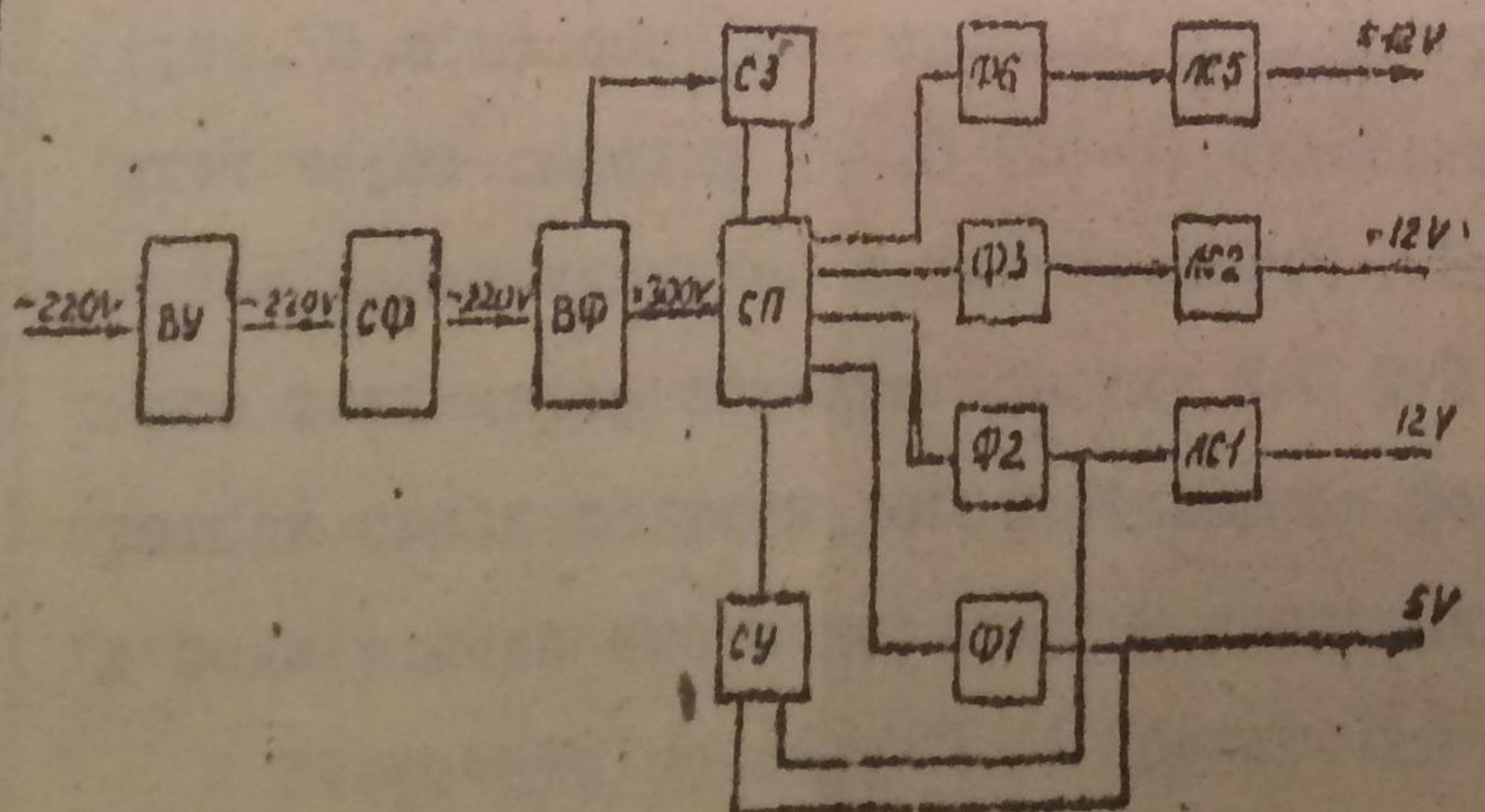


Рис. 5.2

Структурная схема МСП ЕС1841.Е003 Е15.087.022

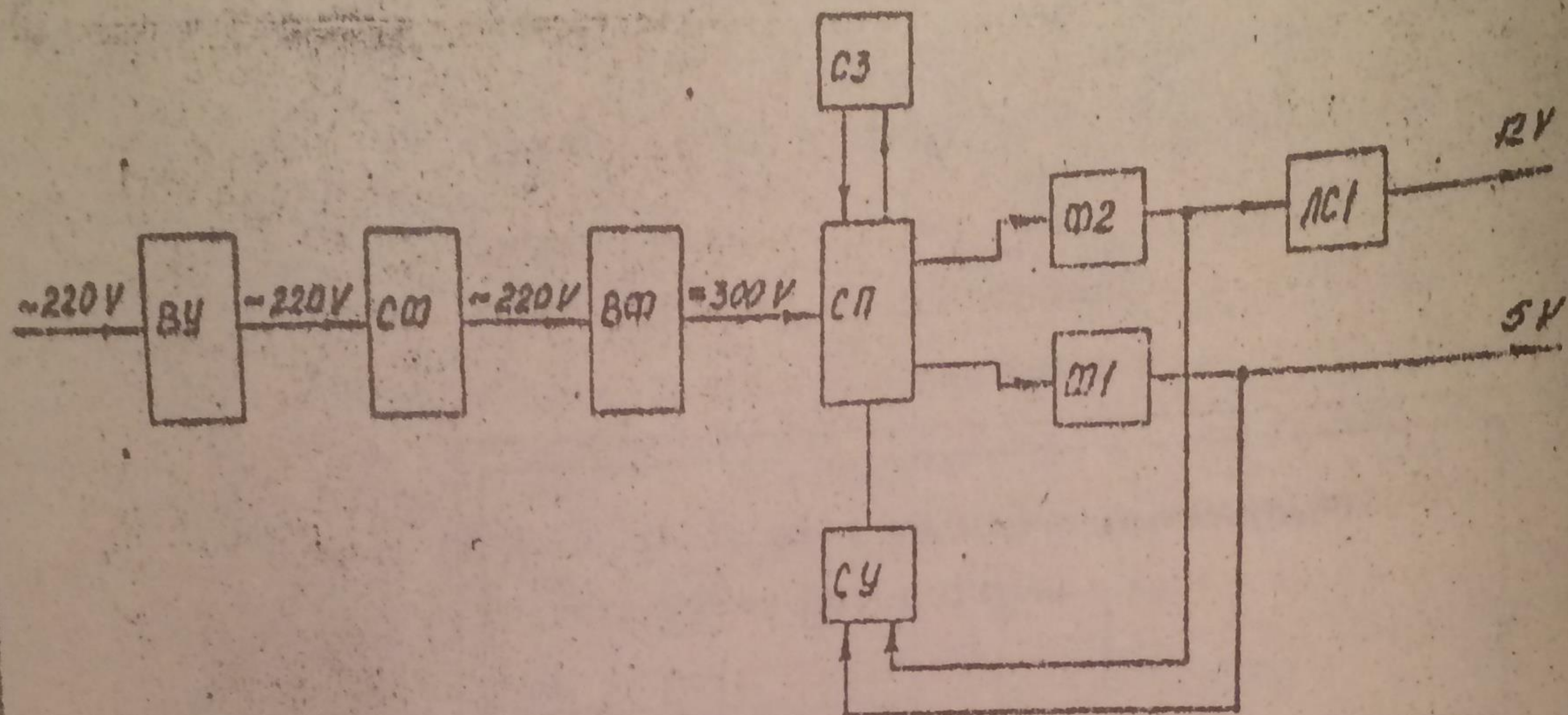


Рис. 5.3

- 1) выпрямление переменного входного напряжения;
2) сглаживание пульсаций выпрямленного входного напряжения;
3) ограничение амплитуды тока заряда отграждающего фильтра в момент коммутации сетевого напряжения и в момент дозаряда после запуска силового преобразователя.

5.2.6. Схема запуска и защиты от перегрузок по току транзистора силового преобразователя выполнена в составе микросборки DAI 04ЕУ13 и реализует следующие функции:

- 1) запуск силового преобразователя;
2) ограничение амплитуды коллекторного тока транзистора силового преобразователя на допустимом уровне;
3) запрет-запуск силового преобразователя до момента снижения тока заряда конденсаторов входного фильтра до требуемого уровня.
Силовой преобразователь обеспечивает преобразование постоянного напряжения сглаживающего фильтра в заданное по величине (для каждого из каналов) переменное прямоугольное напряжение с регулируемой скважностью импульсов при постоянной частоте преобразования порядка 40 кГц.

5.2.8. Демодуляторы соответствующих каналов обеспечивают:

1) однополупериодное выпрямление переменного напряжения о соответствуемого выхода силового преобразователя с выделением требуемого среднего значения постоянного напряжения;

- 2) сглаживание пульсаций выпрямленных напряжений каналов до требуемого уровня.

5.2.9. Схема управления, состоящая из микросборки DAI 04Б (DA5)² и усилителя мощности, обеспечивает управление транзистором силового преобразователя путем регулирования скважности вырабатываемых импульсов в зависимости от разности между выходным напряжением канала 5 В и установленным опорным напряжением.

5.2.10. Линейные стабилизаторы обеспечивают стабилизацию уровня

входного напряжения каналов, не охваченных обратной связью схемы управления (двенадцативольтовые и пятнадцативольтовые каналы).
Примечание. к - здесь и далее в скобках указывается позиция
кода обозначения элементов ИЭП Е15.087.022, отличные от позицион-
ных обозначений Е15.087.021. Вне скобок указывается позиционное
обозначение элементом ИЭП Е15.087.021.

5.3. Описание принципиальной схемы МЭП

5.3.1. Электрические принципиальные схемы и перечни элементов
ИЭП Е15.087.020 и Е15.087.003 приведены в документе ЕII.700.012 ТОЗ.
Временные диаграммы токов и напряжений элементов схем приведены на
рис. 5.4, 5.5.

5.3.2. Сетевое напряжение через вилку ХР1, плавкие вставки
FU1, FU2 с помощью микротумблера SA1 поступает через сетевой помехо-
подавляющий фильтр на выпрямительный диодный мост VD1, (VD17..VD20)

5.3.3. Сетевой помехоподавляющий фильтр собран по двухкаскад-
ной схеме на дросселях L1, L2 и конденсаторах C9...C14, C17...C22
(C1...C12). При этом дроссель L2 и конденсаторы C11, C12, C19, C20
(C3, C4, C9, C10) обеспечивают подавление симметричной составляющей,
а дроссели L1, L2 и конденсаторы C9, C10, C13, C14, C17, C18, C21,
C22 (C1, C2, C5...C8, C11, C12) - соответственно несимметричной со-
ставляющей радиопомех. Резистор R7 (R1) служит для разряда конден-
саторов.

(VD17..VD20)

5.3.4. Диодный мост VD1 выпрямляет сетевое напряжение, а вход-
ной фильтр на конденсаторах C2...C3 (C14...C16) сглаживает выпря-
мленное напряжение. При этом максимальное значение напряжения на кон-
денсаторах достигает 340 В при максимальном значении сетевого на-
пряжения.

5.3.5. Заряд конденсаторов при включении МЭП производится через
резисторы R2 (R3) и R5, причем с R5 снимается напряжение, пропорцио-

изменение току заряда входного фильтра (рис. 5.4,б). Это полрежонка служит для микросборки DA1 сигналов запуска на запуск силового преобразователя до тех пор, пока ток заряда входного фильтра не спадет до i_2 (момент t_1). После этого момента сигнал запуска снимается, и микросборка DA1 вырабатывает запускающий импульс (рис. 5.4,в), поступающий с выхода 04 DA1 на базу силового транзистора VT1. С запуском силового преобразователя (п. 5.3.6) появляется импульс на обмотке I8-20 (I2-I4) TV1, включавший тиристор VS1, который, в свою очередь, шунтирует резисторы R2 (R3) и R5. Через VS1 проходит дозаряд конденсаторов (рис. 5.4,а,б, участок t_1-t_2) и дальнейшая подпитка в процессе работы блока (участок II).

Амплитуда тока заряда i_1 в начальный момент (рис. 5.4,б) определяется соотношением амплитуды сетевого напряжения и резисторов R2 (R3) и R5 и не превышает величины 0,5 А. Величина тока i_2 в момент t_1 определяется соотношением напряжения на выходах 27 и 28 DA1 порядка 1-2 В и резистора R5 и составляет порядка 12-28 мА. Амплитуда тока дозаряда i_3 определяется, в основном, соотношением разности амплитуды сетевого напряжения с напряжением на входном фильтре и моменту t_1 и омического сопротивления обмоток дросселей L1 и L2 помехоподавляющего фильтра. Величина i_3 - порядка 7 А. Величина i тока запуска порядка 40-40 μ А.

5.3.6. Выключение силового преобразователя происходит следующим образом: запускающий импульс с выхода 04 DA1 в момент t_1 (рис. 5.4,в) отпирает силовой транзистор VT1. Коллекторный ток идет через обмотку I6-10 (I6-6) силового трансформатора TV1, обеспечивая намагничивание сердечника TV1. За счет протекания коллекторного тока через токовую обмотку 7-5 TV2 создается положительная обратная связь по току, обеспечивающая форсированное отпирание VT2 и поддержание его в насыщенному состоянии.

Вторичные обмотки TV1 подключены в противофазе обмотке I6-10

(16-6), поэтому к выпрямительным диодам вторичных обмоток прикладывается обратное напряжение; они заперты, и вся энергия накапливается в сердечнике, не передаваясь в нагрузку.

Одновременно на обмотке 18-20 (12-14) ТУ1 появляется сигнал, который прикладывается к управляемому электроду тиристора VS1 через VD2, R6. VS1 включается и шунтирует зарядные резисторы R2 (R3) и R5. В результате этого происходит дозаряд конденсаторов входного фильтра C2...C8 (C14...C16) в течение времени t_1-t_2 (рис. 5.4,б), как описано в п. 5.3.5.

5.3.7. Схема защиты от перегрузок по току транзистора VT1, входящая в DA1, приводится в рабочее состояние к моменту подачи первого запускающего импульса, благодаря электропитанию от конденсаторов C2 ... C8 (C14 ... C16) входного фильтра через R13, R14. Контроль коллекторного тока VT1 осуществляется по величине падения напряжения на резисторах R11, R12 (R9). В случае превышения током заданного уровня (порядка 3 А) происходит шунтирование обмотки 1-2 TV2, что приводит к замианию VT1 и прекращению дальнейшего протекания тока коллектора. Величина порога ограничения по току устанавливается потенциометром R10 (R8). Схема осуществляет ограничение длительности включенного состояния VT1 и соответственно нарастания коллекторного тока при пуске (т.е. в первом импульсе).

5.3.8. Обмотка 2-13 (3-5) ТУ1 подключена синфазно первичной обмотке 16-10 (16-6), благодаря чему на С53 (С35) появляется напряжение, обеспечивающее электропитание микросборки управления DA6 и усилителя мощности на VT2 и TV2. DA6 (DA5) начинает работать после достижения уровня напряжения на С53(С35) 8 В, что приводит к открыванию VT2 положительным импульсом с выхода 16 DA6 (DA5). При этом сердечник TV2 намагничивается за счет тока, протекающего через обмотку 9-10, через R22 (R17) (рис. 5.5,б, интервал 0- t_1).

5.3.9. По сигналу схемы управления VT2 закрывается

(рис. 5.5, а, в, г, интервал t_1-t_2), и ток намагничивания TV2 начинает протекать через обмотку 8-6 TV2 в базу VT1, открывая его.

5.3.10. В момент t_2 (рис. 5.5, а) на базе VT2 снова подается положительный сигнал от DA6 (DA5). При открывании VT2 шунтируется обмотка 9-10 TV2 через диод VD18 (VD12). При этом коллектор обмотки 9-10 TV2 через диод VD18 (VD12) и диоды VD6, VD7, т.е. C29 (C22), заземленный до напряжения на диодах VD6, VD7, т.е. I₁, 0-I₁, 5 В, через защищенную обмотку 6-8 TV2 подключается к переходу "база-эмиттер" VT1 отрицательной обкладкой к базе. На участке t_2-t_3 происходит рассасывание заряда, накопленного в базе VT1; ток базы при этом имеет обратное направление (рис. 5.5, в, г).

После окончания рассасывания (рис. 5.5, момент t_3) напряжение на коллекторе VT1 резко возрастает, а на всех обмотках TV1 меняет знак (рис. 5.5, в, г).

Ток намагничивания TV1 начинает протекать через вторичные обмотки 9-II, I-2I, 3-I3, 5-7, I9-I7, 23-I5 (I5-I9, I3-I7) через обмотку сброса I4-24 (I0-I8) и соответственно через диоды VD8...VDI7 и VD3 для EI5.087.02I,-02, через диоды VD10...VDI7, VD2I и VD3 для EI5.087.02I-01,-03 (VD8...VDII и VD3). Цель обмотки сброса ограничивает всплеск напряжения на коллекторе VT1, обусловленный индуктивностью рассеяния TV1 (обмотки I0-I6 и I4-24 I6-6 и I0-I8) намотаны одновременно и имеют хорошую магнитную связь).

Максимальное напряжение на коллекторе VT1 ограничивается на уровне удвоенной амплитуды напряжения питания, т.е. максимум 680 В.

5.3.11. В момент t_4 диод обмотки сброса VD3 запирается (ток через обмотку I4-24 (I0-I8) VT1 прокращается), и дальнейшее размагничивание сердечника TV1 происходит только за счет протекания тока: ров C30...C42 для EI5.087.02I,-02, C36, C37, C35...C33 для EI5.087.02I-01,-03 (C24, C25, C27, C28, C31, C32). Это соответствует интервалу t_3-t_5 (рис. 5.5, а).

В момент t_5 плавым угрожая сигналом ожидания управления транзистор VT_2 снова запирается, и происходит повторение включения VT_1 , так, как описано выше.

5.3.12. Для уменьшения импульсной мощности при запирании VT_1 используется цепочка коррекции, состоящая из R_{15} , R_{16} , V_{D4} , V_{D5} , C_{23} и обмотки 12-22 транзистора VT_1 (R_{13} , R_{14} , V_{D4} , V_{D5} , C_{19} и обмотка 2-4 транзистора VT_1). Диод V_{D4} при открытом VT_1 пропускает ток, идущий с обмотки 12-22 (2-4) и ограниченный резистором R_{15} (R_{13}). При запирании VT_1 диод V_{D4} фиксирует потенциал коллектора VT_1 на уровне, определенном обмоткой 12-22 (2-4), за счет конечного времени восстановления обратного сопротивления (порядка 1 мкс) диода V_{D4} . Это приводит к затягиванию нарастания фронта напряжения на коллекторе, уменьшая тем самым импульсную мощность на VT_1 .

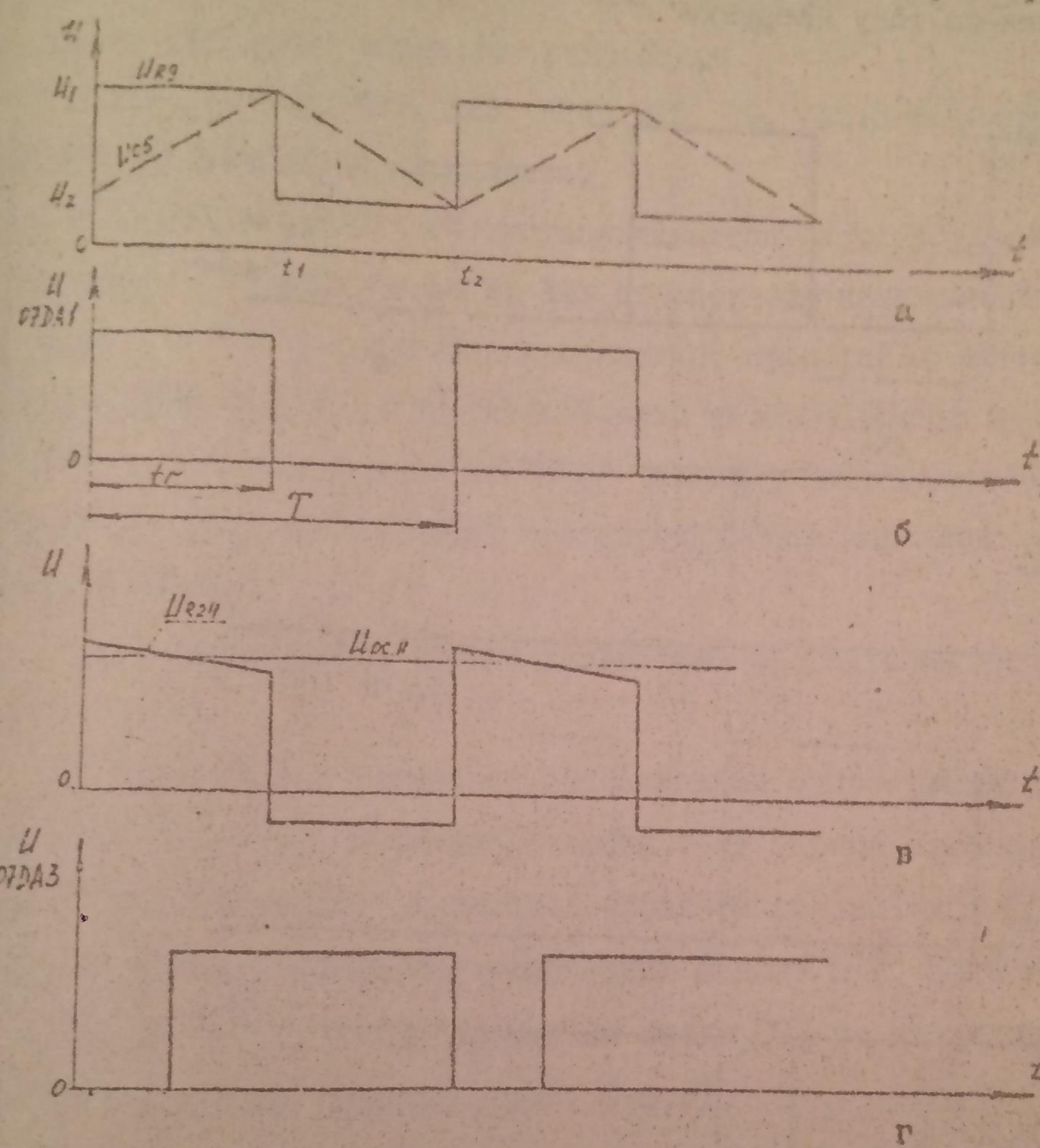
5.3.13. После включения силового преобразователя и появления напряжения на выходных каналах питание микросборки управления осуществляется со входа микросхемы DA4 (DA2...DA4) через диод V_{D19} (VP_{13}). Сигнал отрицательной обратной связи по напряжению снимается с выхода канала 5 В и подается на входы 09 и 10 DA6 (DA5). Переменным резистором R_{26} (R_{23}) осуществляется регулирование уровня опорного напряжения в микросборке DA6, за счет чего обеспечивается установка требуемого значения выходного напряжения канала плюс 5 В.

5.3.14. На выходе каналов 12 В, -12 В, ±12 В, 15 В, -15 В установлены линейные стабилизаторы с фиксированным уровнем выходного напряжения (т.е. не имеющие регулировки) и встроенной защитой от перегрузок и короткого замыкания.

5.4. Описание работы микросборки управления О4ЕУ12

5.4.1. Электрическая принципиальная схема микросборки О4ЕУ12 приведена в документе ЕГТ.700.012 Т03. Временные диаграммы напряжений элементов схемы приведены на рис. 5.6, 5.7.

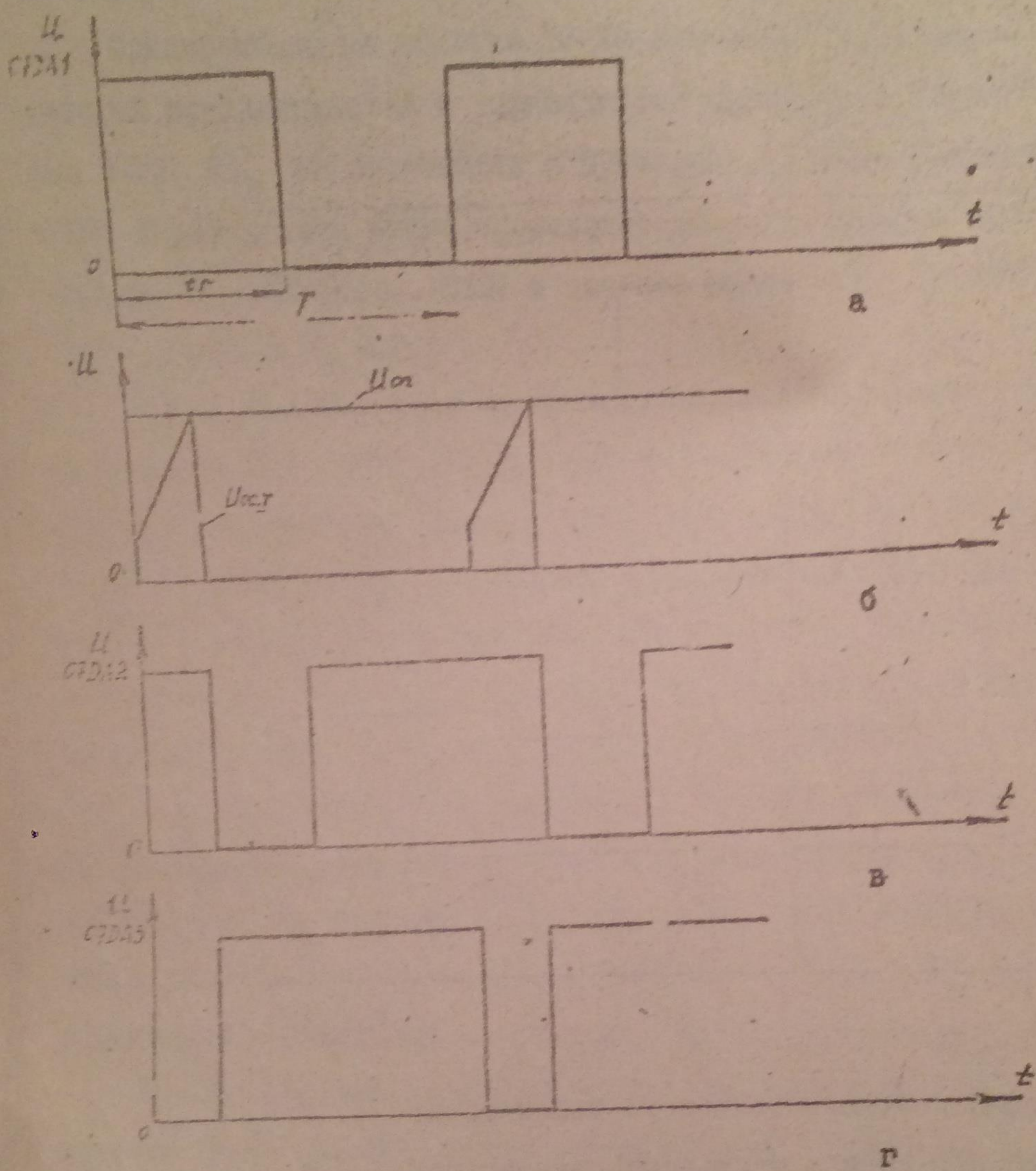
Временные диаграммы напряжений элементов микросборки 04ЕУ12



- а - входные сигналы тактового генератора;
- б - выходной сигнал тактового генератора;
- в - напряжение на входе ОЗ ДАЗ;
- г - выходной сигнал ДАЗ

Рис. 5.6

Временные диаграммы, поясняющие работу схемы защиты от превышения по току нагрузки



а - выходной сигнал тактового генератора;

б - напряжение на входе ОЗ DA2;

в - выходной сигнал схемы защиты по току;

г - выходной сигнал DA3

Рис. 5.7

5.4.2. Микросборка управляемая ОДУ12 реализует следующие функции:

- 1) вырабатывает тактовые импульсы с частотой порядка 40 кГц;
 - 2) формирует пилообразное пульсирующее напряжение, необходимое для работы компаратора (схемы сравнения);
 - 3) производит сравнение выходного сигнала канала 5 В с пилообразным пульсирующим напряжением и вырабатывает правоугольные импульсы, длительность пауз которых соответствует длительности импульса открытого состояния силового транзистора;
 - 4) обеспечивает контроль и ограничение тока нагрузки.
- 5.4.3. В соответствии с выполняемыми функциями микросборка управления может быть разделена на ряд узлов, которые показаны на рис. 5.8.

5.4.4. Электропитание микросборки осуществляется напряжением $U_n = (15-19)$ В, поступающим на контакт 25.

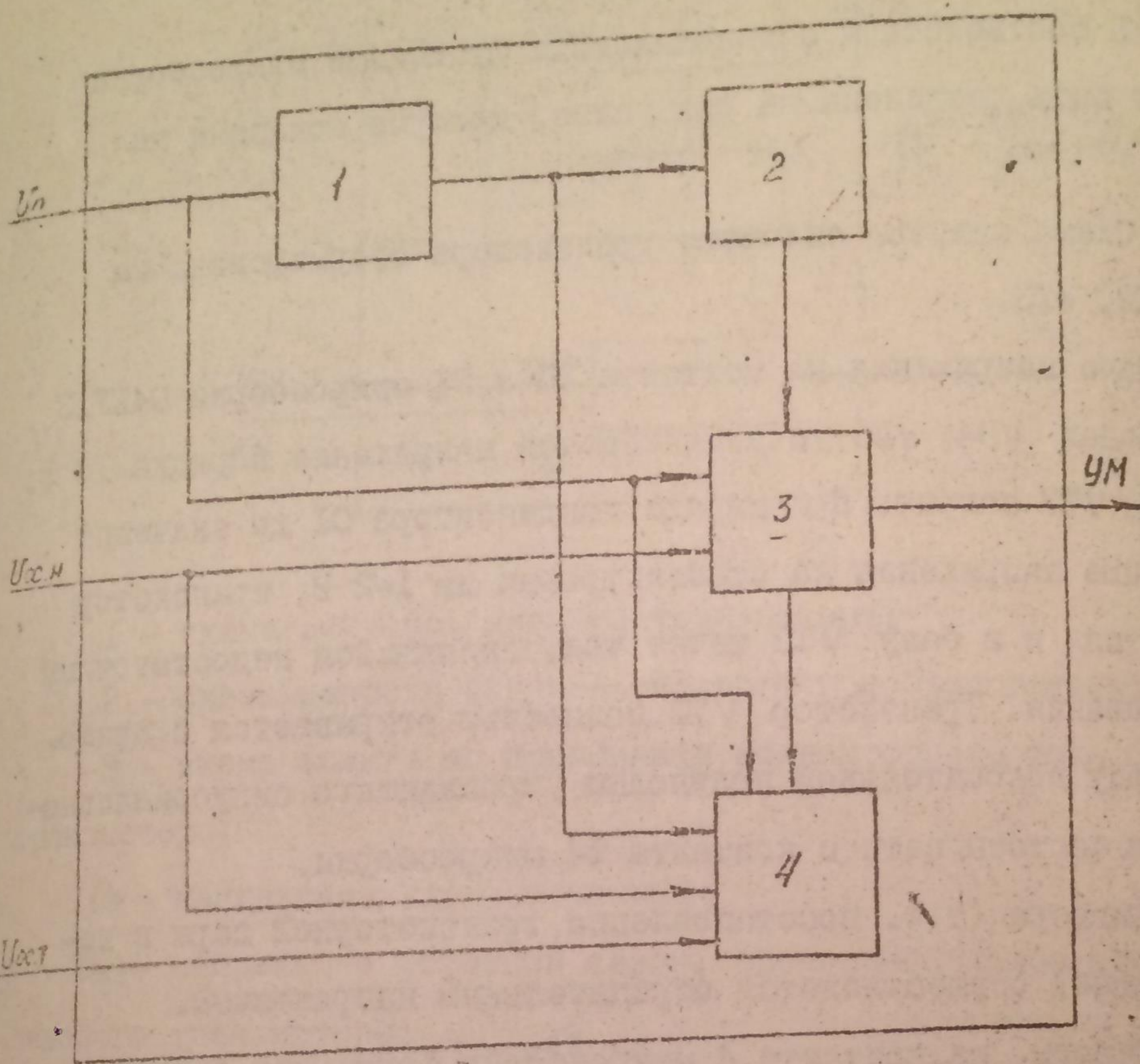
Резистор R2, диоды VD1, VD2 и стабилитрон VD3 формируют опорное напряжение $U_{011} = (8,5-9,5)$ В.

5.4.5. Тактовый генератор. Тактовый генератор собран на микросхеме DAI.

Если напряжение U_{R9} , поступающее с делителя R8, R9 на вход O2 DAI, выше напряжения U_{C5} , поступающего с C5 на вход O3 DAI (рис. 5.6, а, участок 0- t_1), на выходе O7 DAI устанавливается высокий уровень (рис. 5.6, б). При выравнивании напряжений U_{R9} и U_{C5} (рис. 5.7, а) момент t_1 произойдет переключение микросхемы DAI и на ее выходе установится низкий уровень (рис. 5.6, б). При этом конденсатор C5 начинает разряжаться через резистор R12 и диод VD5.2 до уровня U_2 , определяемого делителем R8, R9, R11, VD5.1. В момент времени t_2 (рис. 5.6, а) U_{C5} становится равной U_{R9} . Микросхема

таким образом, тактовый генератор формирует правоугольные

Структурно-функциональная схема микросборки управления ОМУ12



1 - тактовый генератор;

2 - цепь формирования пульсирующего пилообразного напряжения;

3 - компаратор (схема сравнения);

4 - узел защиты от перегрузок по току нагрузки;

U_n - напряжение электропитания;

$U_{chн}$ - напряжение обратной связи, поступающее с выхода канала;

$U_{chт}$ - напряжение обратной связи, пропорциональное току коллектора силового транзистора;

U_m - усилитель мощности.

Рис. 5.8

поступает с генератором импульса $t_g = 0-t_1$, портала 12 ^{HS} и перво-
дом следорежима $T_d = 0-t_2$ портала 25 ^{HS}. Длительность импульса
тактового генератора определяет максимально возможную длительность
открытого состояния силового транзистора.

5.4.6. Цепочка R21, R23, R24, R25, C9, VD5.3 формирует пило-
образное пульсирующее напряжение.

Когда на входе 07 DA1 устанавливается высокий уровень, прохо-
дит заряд C9 через резистор R23 от опорного напряжения. При этом
на резисторе R24 формируется напряжение, пропорциональное току за-
ряда C9 (рис. 5.6,в). При установленном низком уровне на выходе
07 DA1, начинается разряд C9 через резистор R21, диоды VD5.3, VD7.
Напряжение U_{R24} меняет знак, что определяется падением напряжения
на диоде VD7.

5.4.7. Компаратор (схема сравнения) сформирован на микросхеме
DA3.

На вход 03 DA3 поступает пилообразное пульсирующее напряжение
 U_{R29} (рис. 5.7,в), пропорциональное току заряда емкости C9. На
вход 02 DA3 поступает напряжение обратной связи $U_{os.n.}$ (рис. 5.6,в),
пропорциональное выходному напряжению канала 5 В. Если напряжение
на входе 03 DA3 выше напряжения на входе 02, то на выходе 07 DA3
установится низкий уровень (рис. 5.6,г).

При выравнивании напряжений на входах 02 и 03 DA3 происходит
переключение компаратора и на его выходе устанавливается высокий
уровень, который сохраняется до начала следующего импульса таково-
го генератора.

5.4.8. Узел защиты от перегрузок по току представляет собой
триггер с нелинейной обратной связью, срабатывание которого возмож-
но в течение импульса тактового генератора, а сбросывание – по его
окончании.

Сигнал, повторяющий форму тока коллектора силового транзистора

транзистора реализована на микросхеме DAI и транзисторах VT4, VT5.

На контакт 22 микросборки поступает сигнал с датчика тока, контролирующего амплитуду тока коллектора силового транзистора. Далее сигнал, повторяющий форму тока коллектора силового транзистора, поступает на вх.д 02 микросхемы DAI. На вход 03 DAI поступает напряжение с делителя R8, R9 опорного напряжения, формируемого стабилитроном VD6.

Если напряжение на входе 03 выше, чем на входе 02 DAI, на выходе 07 устанавливается низкий уровень, препятствующий отпиранию триггера VT4, VT5. При нарастании коллекторного тока силового транзистора так, что напряжение на входе 02 DAI превысит напряжение на выходе 03, микросхема переключится и на ее выходе установится высокий уровень, отпирающий триггер VT4, VT5. При этом цепочка VD8, VT4, VT5 шунтирует обмотку I-2 трансформатора TV2, подключенную к контактам 14, 10 микросборки, что приводит к запиранию силового транзистора.

Сброс триггера производится обратным напряжением на обмотке I-5 TV2 через VD7, RI6.

5.6. Устройство и работа модуля ECI841.E001.04

5.6.1. Структурная схема МЭП-6 приведена на рис. 5.II и включает следующие составные части:

- 1) ВУ - входное устройство;
- 2) ПФ - сетевой помехоподавляющий фильтр;
- 3) ВВ и СФ - входной выпрямитель и сглаживающий фильтр;
- 4) СП1 - силовой преобразователь основного канала + 5V;
- 5) СЗЗ - схема запуска и защиты;
- 6) СУ - схема управления;
- 7) СП2 - силовой преобразователь канала + 12V;
- 8) ЛС - линейный стабилизатор;

Структурная схема МЭП-10 ЕС1841.Е002
Е15.087.020 и МЭП-6 ЕС1841.Е001.01 Е15.087.021-04

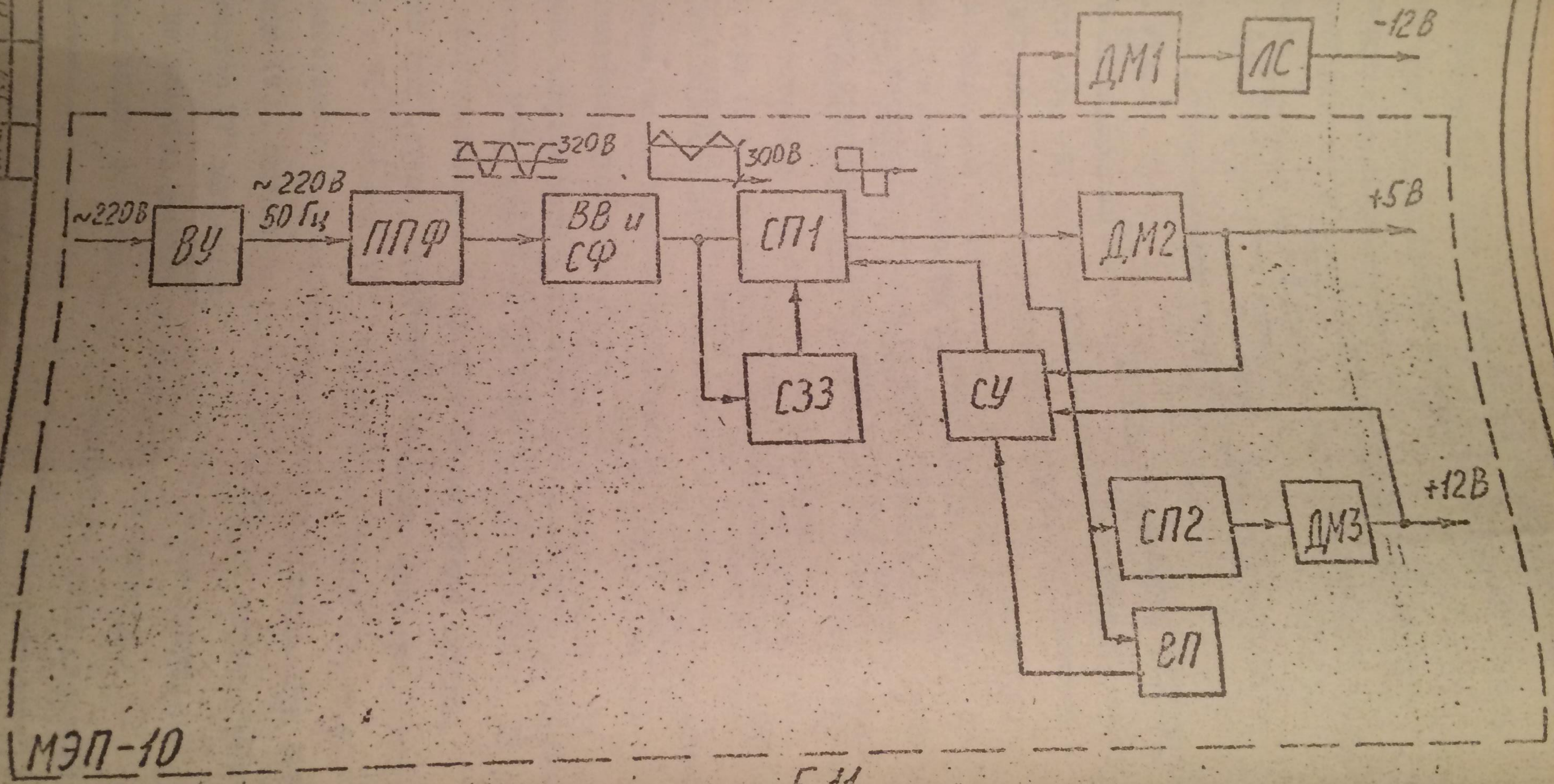


рис. 5.11

МЭП-10

9) ВП - вспомогательный источник питания;

10) ДМ - выходной демодулятор.

5.6.2. ВУ состоит из сетевого стабилизатора ХР1, предохранителей FU1, FU2 и кнопки SBI.

5.6.3. ПН состоят из дросселей L1, L2, ёмкостей С3...С8, С12...С17, резистора R3, служащего для разряда конденсаторов цепи па сетевого после выключения модуля.

5.6.4. ВЗ и С5 состоят из диодного моста VD1, преобразующего совместно со слаживающим фильтром (С9...С11) сетевое напряжение в однополярное пульсирующее напряжение с амплитудой (260-340)В.

5.6.5. СП1 состоит из транзистора VT1, трансформатора T1, корректирующего импульсную мощность на коллекторе транзистора по цепям С20, R12, R13, VD4 и базовой управляющей цепочки силового транзистора С23, VD11, VD13, VD14. Диоды VD5, VD6 служат для защиты микросборки ЕУ998 в случае выхода из строя силового транзистора.

5.6.6. С33 состоит из микросборки ЕУ998 и внешних элементов R9, R15, R10, R4, R1, R5, R7, R11, R8, R14, диодов VD1, C2, R2, R6, VD2.

5.6.7. СУ состоит из микросборки ЕУ999, элементов R19, R20, R21, R22, C21, C31, C36, C37.

5.6.8. СП2 состоит из элементов VT2, VD9, VD10, C24, C38, T3.

5.6.9. ВП - состоит из элементов VD21, R23, C35, D44, C34.

5.6.10. ЛС - линейный стабилизатор типа КР142Е18Б.

5.6.11. ДМ состоит из трех демодуляторов ДМ1, ДМ2, ДМ3.

ДМ1 включает элементы VD7, R16, C25;

ДМ2 включает элементы VD8, VD12, VD15, E5, L3, C26, C27, L4, C28, C32;

ДМ3 включает элементы VD16, VD17, E6, L5, C22, R17, C30, C33.

Лист	110	110	110
Код докум.	Инв. №	Лата	Лист

Е11.700.012 Т0

225

5.7. Блоки и принципиальная схема модуля ЕИЛ.700.012

5.7.1. Упрощенная принципиальная схема и погония, заложенная в ЕИЛ.700.012 ТОЗ. Рассмотрим принципиальную схему в выпрямленной вольтажной схеме приведены на рис. 5.12-5.17.

5.7.2. При включении кнопки SB1 напряжение сети через стабилитрон VD2Р (Д25) поступает на выпрямитель UФ1 и через ограничивающие резисторы R1, R5, гавряжест конденсаторы С9...С11 до напряжения не менее 0,8 от напряжения сети (амплитудного значения). При этом запрещающий сигнал на включение, поступающий на вход О5 микросборки ЕУ998 через делитель R7, Р11 становится недостаточным для запирания и через ограничивающий резистор R14 импульса тока импедансом 0,2 к Ω с длительностью 5-8 мс поступает в базу силового транзистора VT1 (см. рис. 5.14, б), VT1 открывается, срабатывает обратная связь по току и открытное состояние транзистора длится до тех пор, пока коллекторный ток VT1 не достигнет уровня срабатывания защиты по току I_{пор} т. За это время напряжение на конденсаторе С35 становится достаточным для функционирования микросборки ЕУ998. Начинается управление преобразователем с частотой 40 кГц (см. рис. 5.14, в) осуществляемое усилителем мощности (в микросборке ЕУ999) посредством трансформатора TV2.

Одновременно с СП1 начинает работать СП2, управление которым осуществляется также микросборкой ЕУ999 посредством трансформатора TV3.

Одновременно с доворотом включением транзистора VT1 через обмотку трансформатора TV1.2 и вспомогательные элементы VD2, R6, C2, R2 подается открывящий сигнал на управляющий электрод тиристора VSI. Тиристор открывается (момент t_1 , рис. 5.14). Происходит быстрый дозаряд конденсаторов С9...С11 (см. рис. 5.14, а).

При возрастании выходных напряжений повышается порог срабаты-

тока токовой защиты, уровень которой определяется сигналом на катодике R7, R8, R11 и шириной импульсов на обмотке обратной связи TV1.3.

После входления схемы в номинальный режим, ее работа характеризуется временными диаграммами, изображенными на рис. 5.12.

5.7.3. Питание схемы управления осуществляется стабилизированным напряжением + 15V от ВП, содержащего линейный стабилизатор КР14ГЕН8Б. Питание усилителей мощности, управляемых силовыми транзисторами VT1, VT2 осуществляется нестабилизированным напряжением (22-30)V, подаваемым от ВП.

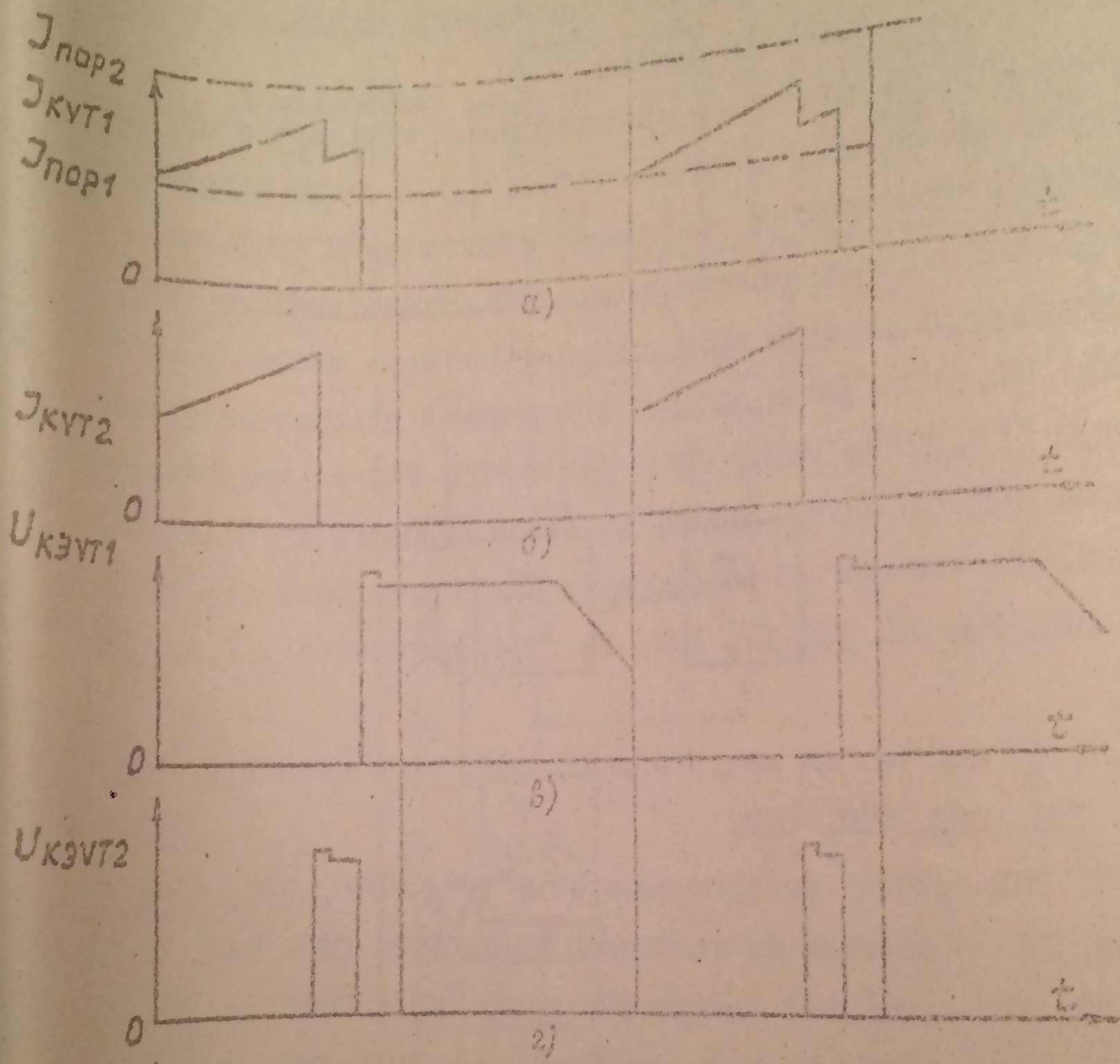
5.7.4. В режиме короткого замыкания или перегрузки по току по любому из каналов происходит возрастание коллекторного тока VT1. При достижении уровня $I_{\text{пор}} 2$ происходит уменьшение длительности импульса коллекторного тока, при этом уменьшается и длительность импульсов напряжения на обмотке TV1.3, что вызывает уменьшение порога срабатывания защиты по току (в микросборке ЕУ998), а, следовательно, и уменьшение мощности, подводимой в нагрузку. Нагрузочные характеристики в этом случае будут иметь вид, показанный на рис. 5.15.

5.7.5. Микросборка управления ЕУ999 реализует следующие функции:

- 1) вырабатывает тактовые импульсы с частотой 40 kHz;
- 2) формирует пилообразное пульсирующее напряжение, необходимое для работы компараторов;
- 3) производит сравнение выходных сигналов каналов 5 и 12V с пилообразным пульсирующим напряжением и вырабатывает прямоугольные импульсы, длительности пауз которых соответствуют длительности импульсов открытых состояний силовых транзисторов;
- 4) обеспечивает защиту от перенапряжения по каналу 12V.

Электропитание микросборки осуществляется напряжением

Временная диаграмма напряжений и
токов номинального режима



а - диаграмма коллекторного тока транзистора VT1;

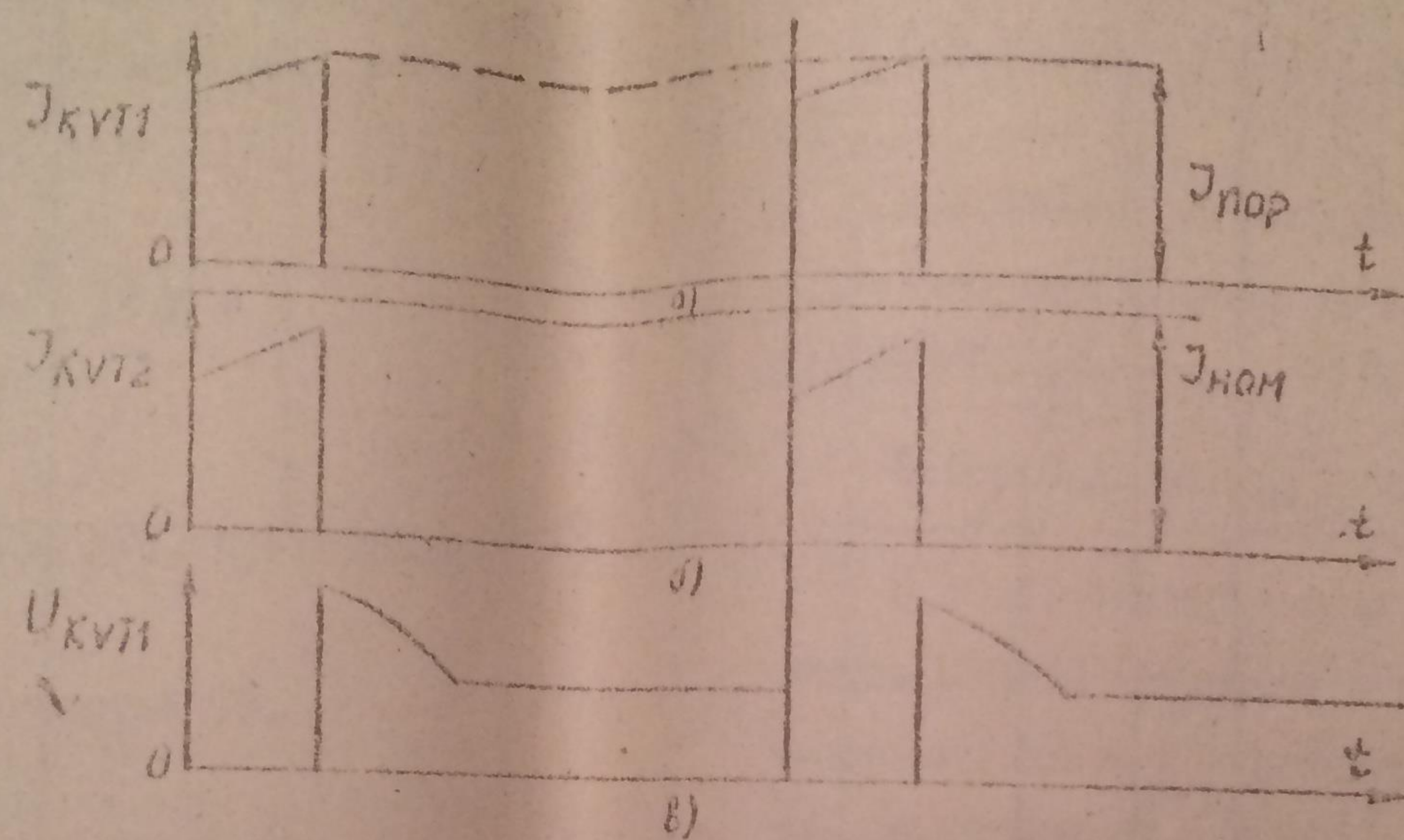
б - диаграмма коллекторного тока транзистора VT2;

в - диаграмма напряжения "коллектор-эмиттер" транзистора VT1;

г - диаграмма напряжения "коллектор-эмиттер" транзистора VT2

Рис. 5.12

Временные диаграммы токов и
напряжений для случая перегрузки в канале +5V



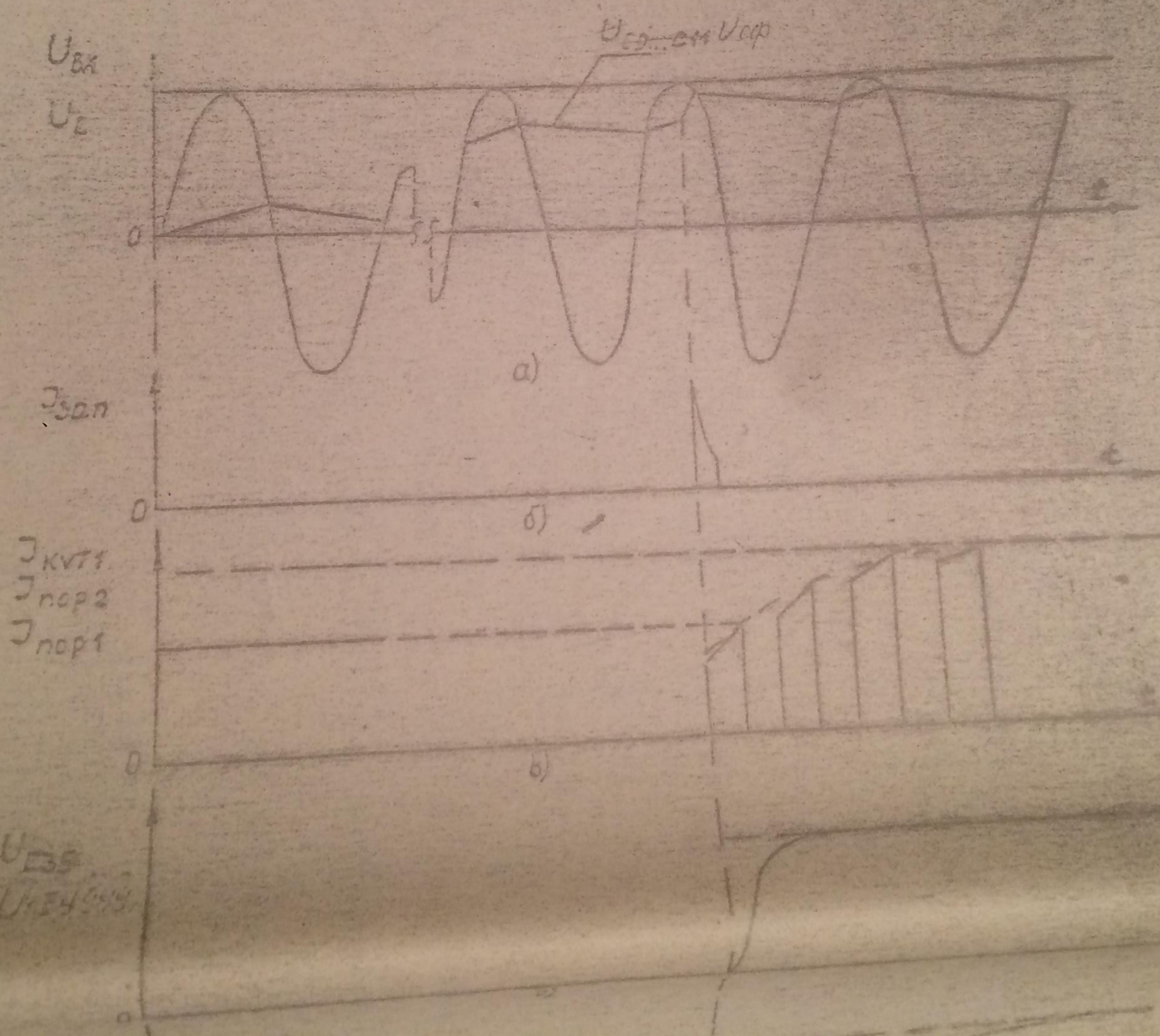
- а - диаграмма коллекторного тока транзистора VT1;
 б - диаграмма коллекторного тока транзистора VT2;
 в - диаграмма напряжения "коллектор-эмиттер" транзистора VT1

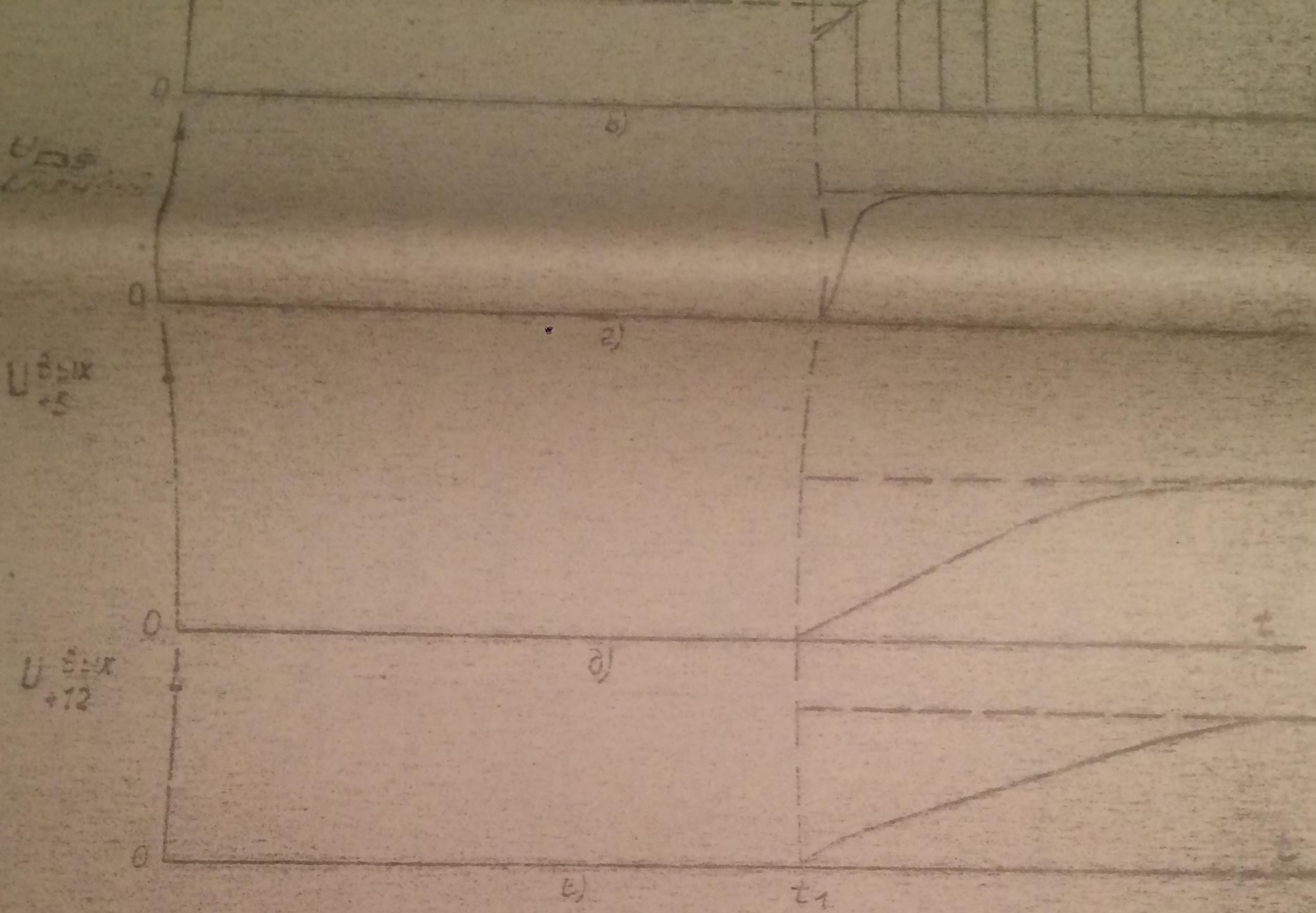
Рис. 5.13

11.700.012 TO

Временные диаграммы токов и напряжений
в пусковом режиме

12.11.60

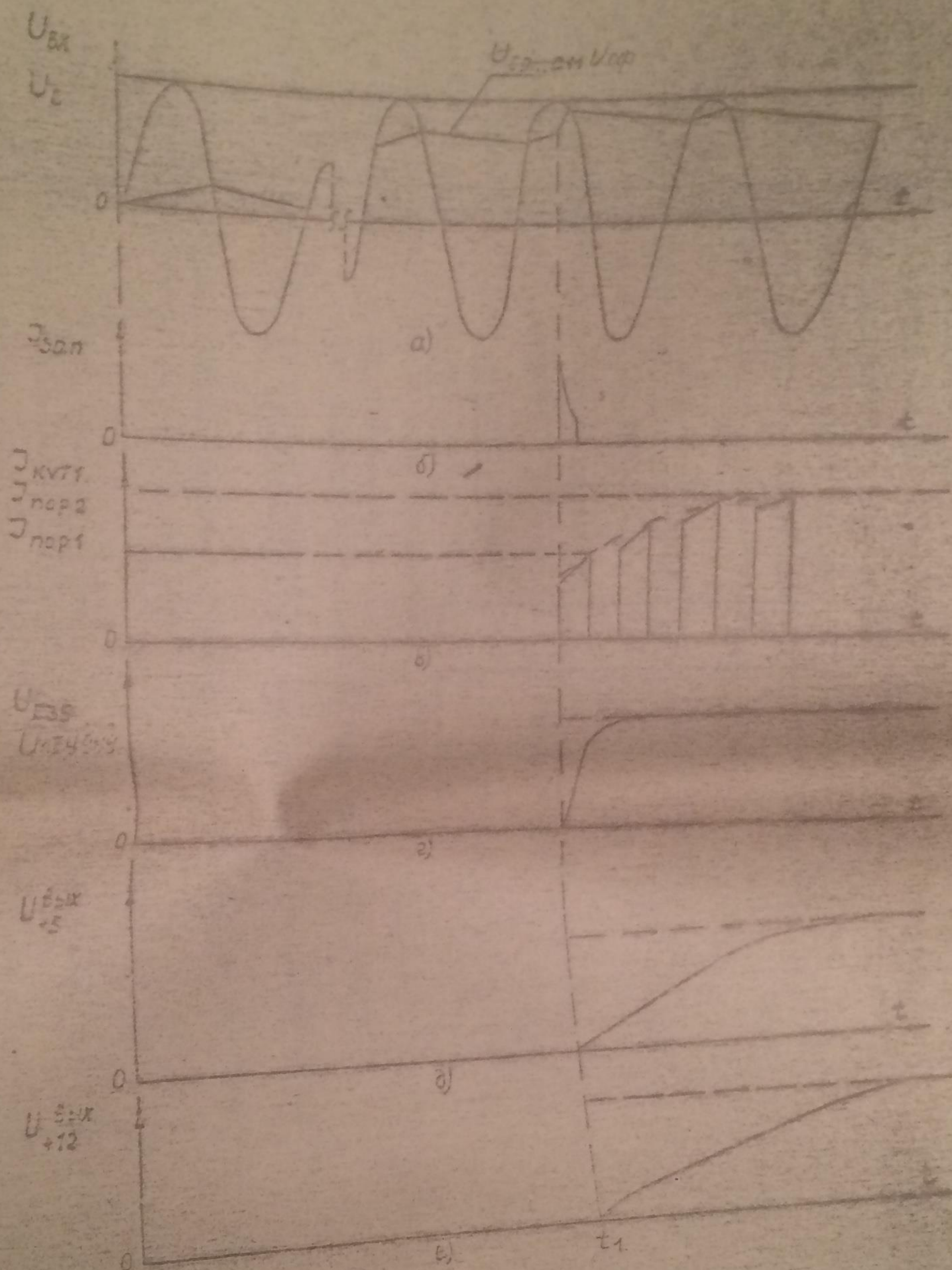




- а - диаграмма заряда входного фильтра;
- б - диаграмма запускающего импульса;
- в - диаграмма начала работы преобразователя;
- г - диаграмма роста напряжения питания
микросборки ЕЯ999;
- д - диаграмма роста выходного напряжения канала 5 В;
- е - диаграммы роста выходного напряжения канала ±12 В

Рис. 5.14

БРОМЕННЫЕ ВЫСОКОЧАСТОТНЫЕ ТОКИ И НАПРЯЖЕНИЯ
В РУСКОДОМ РЕЖИМЕ



- а - диаграмма заряда входного фильтра;
- б - диаграмма запускающего импульса;
- в - диаграмма начала работы преобразователя;
- г - микросборки ЕЯ999;
- д - диаграмма роста выходного напряжения канала 5 V;
- е - диаграмма роста выходного напряжения канала +12 V.

РУС. 5.14

5.9. Устройство и работа модуля ЕС1841.В002

5.9.1. Структурная схема МЭП-Ю приведена на рис. 5.11 и включает следующие составные части:

- 1) ВУ - входное устройство;
- 2) ПФ - сетевой помехоподавляющий фильтр;
- 3) ВВ и СФ - входной выпрямитель и стабилизирующий фильтр;
- 4) СИ - силовой преобразователь основного канала + 5 V;
- 5) СЗЗ - схема запуска и защиты;
- 6) СУ - схема управления;
- 7) СПЗ - силовой преобразователь канала + 12 V;
- 8) ВП - вспомогательный источник питания;
- 9) ДМ - выходной демодулятор.

5.9.2. ВУ состоит из сетевого соединителя ХР1, предохранителей РУ1, РУ2 и кнопки SBI.

5.9.3. ПФ состоит из дросселей L1, ёмкостей C6, C9 - C12.

5.9.4. ВВ и СФ состоят из диодного моста VD1 - VD4, преобразующего совместно со стабилизирующим фильтром (C2 - C5) сетевое напряжение в однополярное пульсирующее напряжение с амплитудой (260-340)V, резистора R4, служащего для разряда конденсатора стабилизирующего фильтра после выключения модуля.

5.9.5. СИ состоит из транзистора VT1, трансформатора T1, корректирующей чипуссной мощность на коллекторе транзистора цепочки C13, R13, R14, VD7 и базовой управляющей цепочки силового транзистора C15, VD9, VD10, VD11. Диод VD8 служит для защиты микросхемы ЕУ998 в случае выхода из строя силового транзистора.

5.9.6. СЗЗ состоит из микросборки ЕУ998 и внешних элементов R1 - R3, R5 - R12, Z18, C1, тиристора VSI.

5.9.7. СУ состоит из микросхемы ЕУ999, элементов R18...R21, R23, R24, C24, C27 - С30, VD 21 - VD 23, TV2, TV3.

5.9.8. СП2 состоит из элементов VT2, VD 14, VD 16, - VD18, C18.

5.9.9. ВД - состоит из элементов VD 12, R14, DA₄, C16, C17, C20.

5.9.10. ДМ состоит из двух демодуляторов ДМ2, ДМ3.
ДМ2 включает элементы VD 13, VD 15, E3, L2, C19, L3, C21, C25;
ДМ3 включает элементы VD 19, VD 20, E4, L4, L5, C22, C23, C25.

5.10. Описание принципиальной схемы модуля ЕС1841.Е002

5.10.1. Электрическая принципиальная схема и перечень элементов МЭП-10 приведены в документе ЕИ.700.012 ТО3. Временные диаграммы токов и напряжений элементов схем приведены на рис. 5.12 - 5.17.

5.10.2. При включении кнопки SBI напряжение сети через сетевой фильтр (ПП) поступает на выпрямитель VD1 - VD4 и через ограничивающие резисторы R1, R5 заряжает конденсаторы C2 - C5 до напряжения не менее 0,8 от напряжения сети (амплитудного значения). При этом запрещающий сигнал на включении, поступающий на вход 26 микросборки ЕУ998 с делителем R1, R5 становится недостаточным для запуска включения и через ограничивающий резистор R15 импульс тока амплитудой 0,3 А с длительностью 8-9 мс поступает в базу силового транзистора VT1 (см. рис. 5.14,6), VT1 открывается, срабатывает обратная связь по току и открытые состояния транзистора держатся до тех пор, пока коллекторный ток VT1 не достигнет уровня срабатывания обратной связи по току I_关. За это время

чения IOV. Таким образом, на контакте 23 микросборки формируется сигнал "Запуск" с параметрами, указанными на рис. 5.17.

Схема запрета запуска силового преобразователя реализована на транзисторе VT1.

Во время заряда конденсаторов входного фильтра при подаче напряженной сети открытое состояние транзистора VT1 препятствует заряду конденсатора С1, тем запрещает сигнал "Запуск".

Схема защиты от превышения коллекторного тока силового транзистора реализована на микросхеме DAI, транзисторах VT5-VT7, и измерительном мосту K7-R10.

Напряжение, пропорциональное коллекторному току, подается на вывод 5 микросборки. При достижении им определенного уровня на выходе DAI устанавливается высокий уровень, отпирающий составной транзистор VT6, VT7.

При этом цепочка VD10, VT6, VT7 шунтирует обмотку 1-2 транзистора TV2, подключенную к контактам 14, 12 микросборки, что приводит к закиранию силового транзистора. В режиме короткого замыкания за счет уменьшения длительности импульсов напряжения на контактах 6, 9 микросборки уровень срабатывания защиты уменьшается.

5.8. Описание конструкции

5.8.1. ЭМ электропитания ЕС1841.Е001 представляет собой функционально законченную съёмную конструктивную единицу в форме параллелепипеда. Основной несущий элемент массы и закрывающий его акрил изготовлен методом штамповки из тонколистовой стали с целью обеспечения требований электробезопасности и электромагнитного экранования. Для обеспечения теплового режима ЭМ электропитания ЕС1841.Е001 в конструкции массы с торцевой стороны заложены крепежные отверстия для установки вентилятора. На торцевых поверхностях массы расположены выступы для крепления двух пластины. Чрез окна в

7	10	11	12	13	14	15	16
17	18	19	20	21	22	23	24

шасси осуществляется доступ к щиту ХР1 МЭЦ-6 (маркировка на шасси 01). На противоположной боковой поверхности через отверстия в шасси осуществляется доступ к щитам Х.С., АР8 МЭЦ-6.

На задней поверхности ЭМ расположанный ЕС1841.Е001 расположен с указанием основных характеристик модуля электропитания.

Для доступа к печатным платам необходимо отвинтить четыре винта на верхней поверхности блока и снять экран.

Для крепления ЭМ электропитания ЕС1841.Е001 к базовому настому основанию используют четыре резьбовых отверстия, расположенные на нижней поверхности шасси.

Ном	Е11.700.012	Изм. 01	01
Состав	План.	Лист.	

E11.700.012 TO

Нагрузочные характеристики при
изменении сопротивления нагрузки

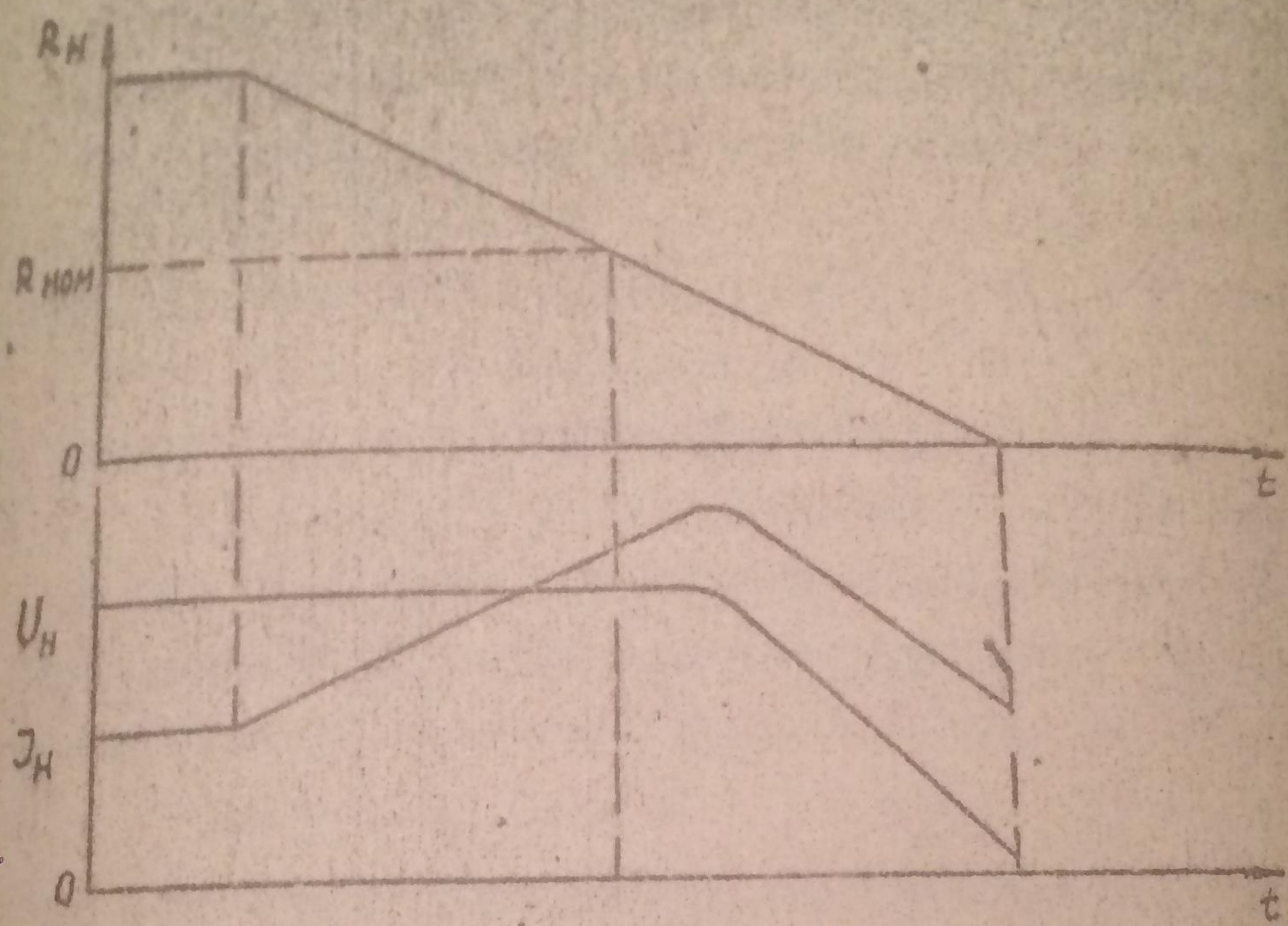
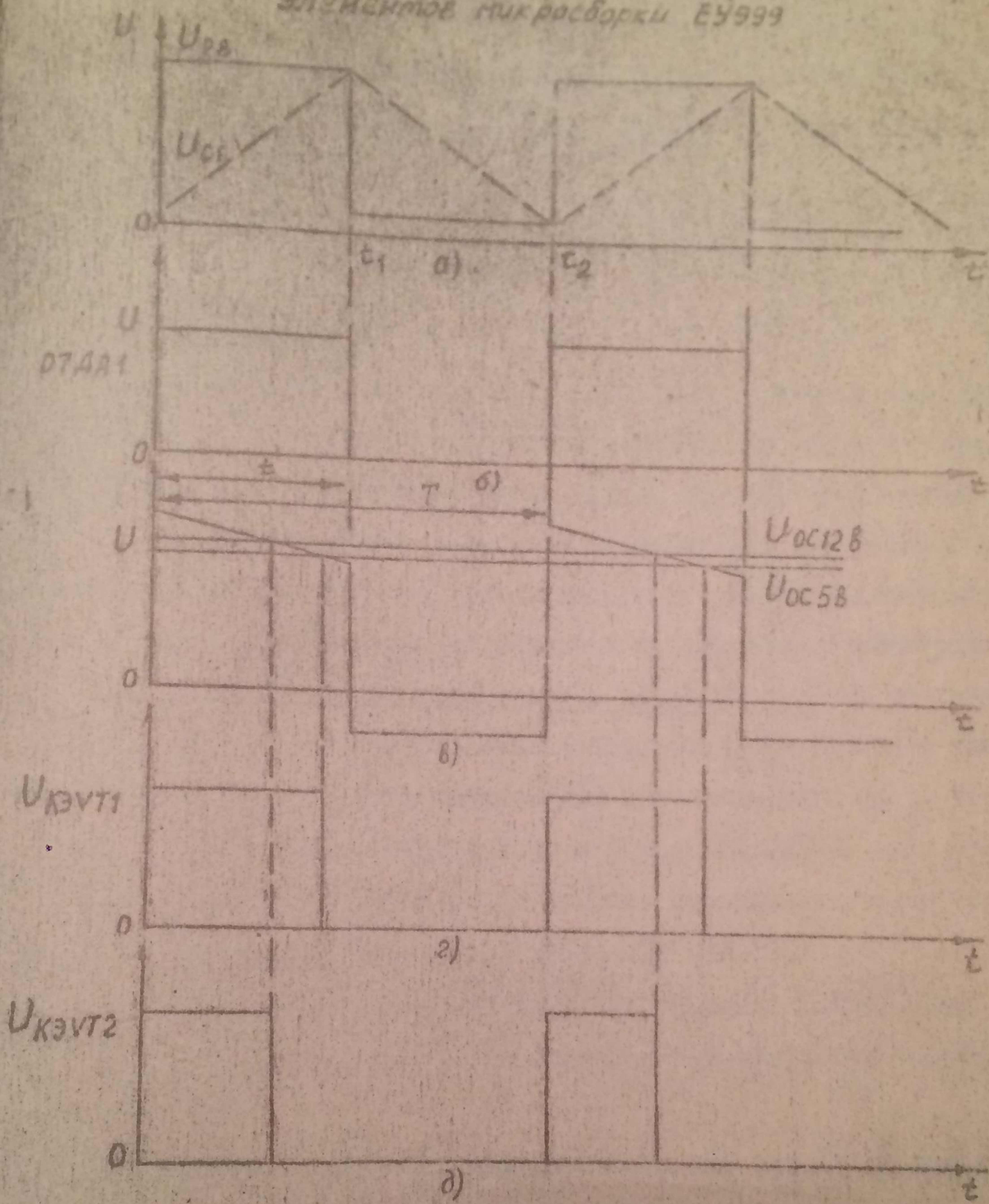


Рис. 5.15

E11.700.012 TO

Временные диаграммы напряжений элементов микросборки ЕУ999



- α - входные сигналы тактового генератора;
- β - выходные сигналы тактового генератора;
- γ - напряжение на входах D12, D13;
- δ - выходное напряжение на VT1;
- δ - выходное напряжение на VT2

Рис. 5.16

7	НОР	Е1.700.012	16	Список	21
1	2	3	4	5	6

E11.700.012 TD

Временная диаграмма
сигнала "Запуск"

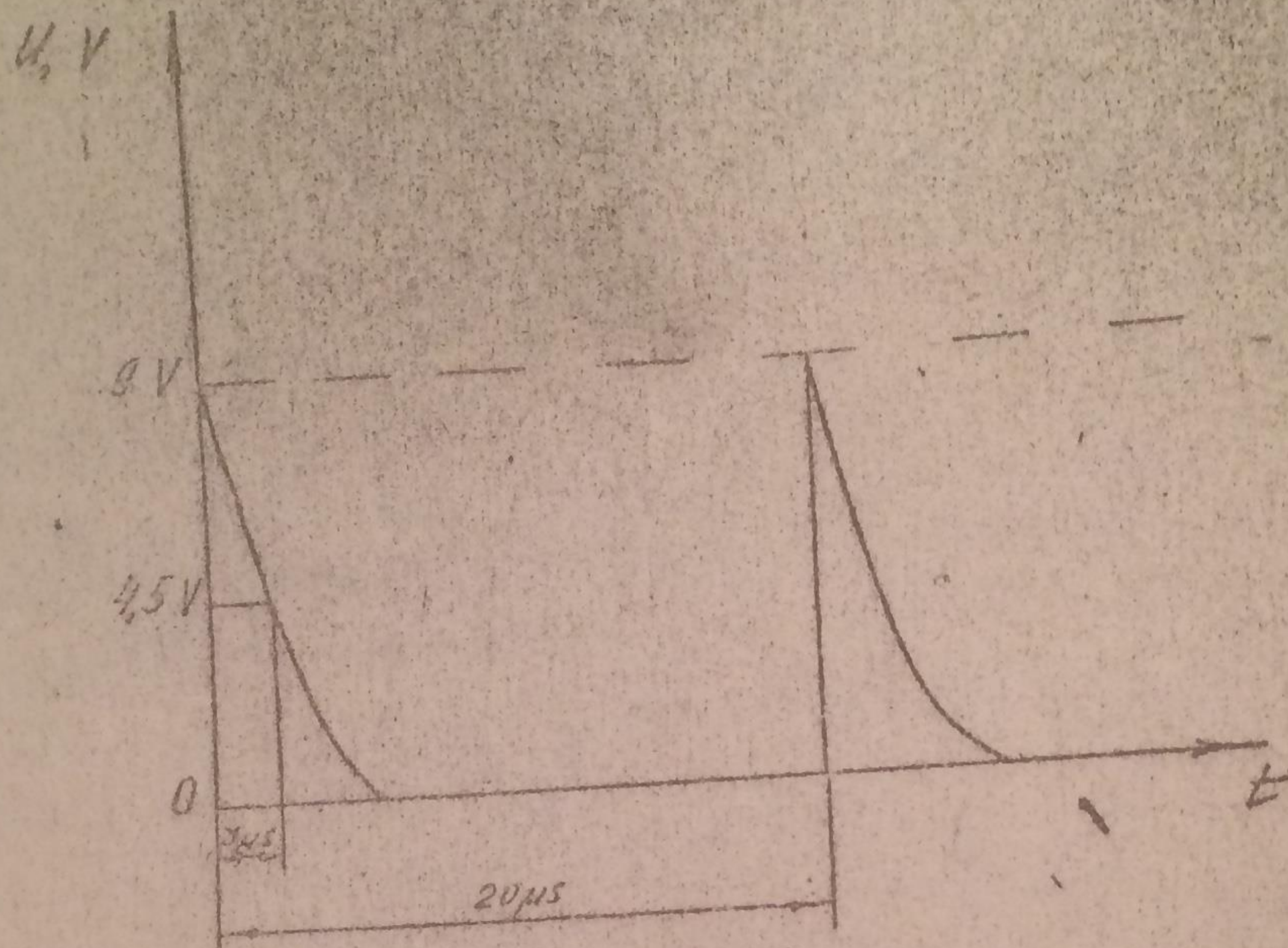


Рис. 5.17

EII.700.012 TD

$U_n = (15 \pm 0.45)V$, поступающим на контакт 19.
Моменты V_3 , V_{12} формируют опорное напряжение
 $(7.9 \pm 8.9)V$.

Тактовый генератор собран на DA1, U7-K12, C1, C2, VD5. Пере-
лючение DA1 происходит в тот момент, когда напряжение на C1 бы-
ло равното напряжением на R8 (рис. 5.16, а). Функциональная подгото-
вка резисторов R9, R11 обеспечивает формирование на выходе тактово-
го генератора прямоугольных импульсов с длительностью импульса
 $t_r = 0 - t_1$, порядка $12 \mu s$ и периодом следования $T_1 = 0 - t_2$
порядка $25 \mu s$.

Цепочка R13-R15, C3, VD6 формирует пилообразное пульсирующее
напряжение.

Схема сравнения по каналу 5V сформирована на DA2, по каналу
12V - на DA3.

На обоих компараторах сравниваются пилообразное напряжение и
напряжение обратной связи соответствующих каналов (рис. 5.16, б).

Уровень сравнения задается функциональной подгото-
вкой резистора R14.

На транзисторах VT1 и VT2 собраны усилители мощности каналов
5 и 12V соответственно. Включением состояния этих транзисторов
соответствует включению состояния силовых транзисторов.

5.7.6. Микросборка ЕУ998 реализует следующие функции:

- 1) осуществляет запуск силового преобразователя;
- 2) ограничивает амплитуду коллекторного тока транзистора си-
лового преобразователя на допустимый уровень;
- 3) осуществляет запрет запуска силового преобразователя до
момента заряда конденсаторов высокого фильтра до требуемого уровня.

Схема запуска силового транзистора сформирована на триггерах
VT2, VT3. Силовой транзистор срабатывает при положительной полу-
волно напряжения на выводе 27 и зажигательном конденсаторе С1 до зия-

и напряжено на конденсаторе С20 становится достаточным для активации микросборки ЕУ999. Начинается управление вентилем разомкнутым с частотой 40 нГц (см. рис. 5.14,в) осуществляющееся усилителем мощности (в микросборке ЕУ999) посредством трансформатора ТУ2.

Одновременно с СП1 начинает работать СП2, управление которым осуществляется также микросборкой ЕУ999 посредством трансформатора ТУ3.

Одновременно с первым включением транзистора VT1 через обмотку трансформатора TV1.1 и вспомогательные элементы УД5, R6, С1, R2 подается открывавший сигнал на управляющий электрод тиристора VSE. Тиристор открывается (момент t_1 , рис. 5.14). Происходит быстрый дозаряд конденсаторов С2 - С5 (см. рис. 5.14,а).

При возрастании выходных напряжений повышается порог срабатывания токовой защиты, уровень которой определяется сигналом на датчике R7, R8, R10 и шириной импульса на обмотке обратной связи TV1.3.

После входления схемы в номинальный режим, ее работа характеризуется временными диаграммами, изображенными на рис. 5.12.

5.10.3. Электропитание схемы управления осуществляется стабилизированным напряжением 15 В от ВП, содержащего линейный стабилизатор КР142ЕН8В. Электропитание усилителей мощности, управляемых силовыми транзисторами VT1, VT2 осуществляется нестабилизированным напряжением (22-30) В, подаваемым от БЛ.

5.10.4. В режиме короткого замыкания или перегрузки по току по любому из каналов происходит возрастание коллекторного тока VT1. При достижении уровня $I_{\text{пор}} 2$ происходит уменьшение длительности импульса коллекторного тока, при этом уменьшается

длительность импульсов нагружения на обмотке ТVI.3, что вызывает уменьшение порога срабатывания защиты по току (в микросборке ЕУ998), а, следовательно, и уменьшение мощности, подводимой в нагрузку. Нагрузочные характеристики в этом случае будут иметь вид, показанный на рис. 5.15.

5.10.5. Описание микросборок ЕУ999 и ЕУ998 приведены в гл. 5.7.5 и 5.7.6 соответственно.

5.11. Описание конструкции ЕСI841.Е002

5.11.1. Модуль электропитания ЕСI841.Е002 представляет собой функционально законченную съемную конструктивную единицу в форме параллелепипеда. Основной несущий элемент шасси и закрывающий его экран изготовлены методом штамповки из тонколистовой стали с целью обеспечения требований электробезопасности и электромагнитного экранирования. Для обеспечения теплового режима модуля электропитания ЕСI842.Е002 в конструкции шасси с торцевой стороны заложены крепежные отверстия для установки вентилятора. На торцевых поверхностях шасси расположены выступы для крепления двух плат. Через окна в шасси осуществляется доступ к вилке ХР1 МЭП-10 (маркировка на шасси С1). На противоположной боковой поверхности через окно в шасси осуществляется доступ к вилке ХР4 МЭП-10.

На задней поверхности модуля электропитания ЕСI841.Е002 расположена надпись с указанием основных характеристик модуля электропитания.

Для доступа к печатным платам необходимо отвинтить два винта на верхней поверхности блока и снять экран.

МЭП ЕСI841.Е002 к базовому несущему основанию крепится посредством двух отгисков, входящих в пазы нижней поверхности шасси, и резьбового отверстия, расположенного на задней поверхности МЭП.

Лист 225	Н/об Е1.20312	ББР	17/89
Лист 225	Н/докум.	Н/п. Платы	

EII.700.012 ТО

Копировал

Лист
225

Формат